



Laboratorium EMVO Sp. J. Urbański, Pawelak  
ul. Jasna 1  
00-013 Warszawa

tel. +48 22 780 29 64  
e-mail: laboratorium@emvo.pl



AB 1630

## Sprawozdanie z pomiarów pól elektromagnetycznych - środowisko ogólne nr 27/03/OŚ/2022– P4-W



Nr i nazwa stacji	WAR4403C	
Adres	Stare Babice, Kościuszki dz. nr 803/15, pow. warszawski zachodni, woj. mazowieckie	
Opracowanie	██████████	Specjalista ds. pomiarów
Autoryzacja	██████████	Kierownik Laboratorium
Podpis		
Data	2022-03-16	

## Spis treści

1. Informacje ogólne.....	3
2. Podstawa prawna. ....	3
3. Opis pomiarów.....	4
4. Zróżnicowanie dopuszczalne poziomy pól elektromagnetycznych.....	5
5. Charakterystyka źródeł PEM.....	5
6. Wyniki pomiarów.....	5
7. Stwierdzenie zgodności .....	8
8. Oświadczenie.....	9
9. Spis załączników. ....	9

## 1. Informacje ogólne.

Zleceniodawca	P4 sp. z o.o., ul. Wynałazek 1, 02-677 Warszawa osoba udzielająca informacji- ██████████
Istotne informacje dostarczone przez klienta	komplet informacji niezbędnych do wykonania pomiarów i opracowania sprawozdania
Dane otrzymane od klienta mogące mieć wpływ na ważność wyników	Dane anten sektorowych, dane anten radioliniowych, parametry pracy instalacji, poprawka pomiarowa, ustawienie pochylenia anten
Prowadzący instalację	P4 sp. z o.o., ul. Wynałazek 1, 02-677 Warszawa
Lokalizacja obiektu	Stare Babice, Kościuszki dz. nr 803/15, pow. warszawski zachodni, woj. mazowieckie
Miejsce instalacji anten	Wieża rurowa
Miejsce instalacji urządzeń	Outdoor
Osoby wykonujące pomiar	██████████
Data wykonania pomiaru	16.03.2022
Temperatura na początku pomiaru [°C]	3,0
Temperatura na koniec pomiaru [°C]	4,0
Warunki atmosferyczne	Brak opadów
Wilgotność na początku pomiaru [%]	68,0
Wilgotność na koniec pomiaru [%]	69,0
Godzina na początku pomiaru	8:19
Godzina na koniec pomiaru	11:04
Inne źródła pól elektromagnetycznych oznaczone na załączniku graficznym	Występują
Parametry pracy instalacji	Rzeczywisty

## 2. Podstawa prawna.

### 2.1 Normy i rozporządzenia:

- Rozporządzeniem Ministra Klimatu z dnia 17 lutego 2020 r. w sprawie sposobów sprawdzania dotrzymania dopuszczalnych poziomów pól elektromagnetycznych w środowisku (Dz.U. 2020 poz. 258)
- Rozporządzenie Ministra Zdrowia z dnia 17 grudnia 2019 r. w sprawie dopuszczalnych poziomów pól elektromagnetycznych w środowisku (Dz.U. 2019 poz. 2448)
- Obwieszczenie Marszałka Sejmu Rzeczypospolitej Polskiej z dnia 19 lipca 2019 r. w sprawie ogłoszenia jednolitego tekstu ustawy - Prawo ochrony środowiska (Dz.U. 2019 poz. 1396).

### 3. Opis pomiarów

Metodologia pomiarowa	Pomiary w oparciu o Rozporządzeniem Ministra Klimatu z dnia 17 lutego 2020 r. w sprawie sposobów sprawdzania dotrzymania dopuszczalnych poziomów pól elektromagnetycznych w środowisku (Dz.U. 2020 poz. 258).
Cel badań	Określenie wartości natężenia pola elektrycznego w miejscach dostępnych dla ludności.
Opis zestawu pomiarowego	Miernik Narda NBM 520, Sonda EF 9091, o zakresie pomiarowym 0,7 V/m 300V/m pracująca w paśmie 80 MHz – 90 GHz, świadectwo wydane przez Laboratorium Wzorców i Metrologii Pola Elektromagnetycznego, Instytut Telekomunikacji, Teleinformatyki i Akustyki Politechniki Wrocławskiej, numer świadectwa: LWIMP/W/081/21, świadectwo ważne do 11.03.2023r. Miernik Narda NBM 520, Sonda EF 9091 pracująca w zakresie temperatury -10°C - +50°C oraz wilgotności 5% - 95%. Niepewność rozszerzona 59,8% przy poziomie ufności 95% z uwzględnieniem współczynnika rozszerzenia k=2.
Wyposażenie pomocnicze	Termohigrometr Bestone, typ: GM1362-EN-00, nr identyfikacyjny 1222436, świadectwo wzorcowania z dn. 03.04.2017r. wydane przez Laboratorium Pomiarowe "MUTECH". Przymiar wstęgowy STABILA, nr seryjny 10721, świadectwo wzorcowania z dn. 19.06.2017r. wydane przez Zespół Laboratoriów wzorcujących Okręgowego Urzędu Miar w Gdańsku. GPS Garmin 64s okresowo sprawdzany w punktach osnowy geodezyjnej klasy 3 na podstawie licencji punktu, zgodnie z procedurą sprawdzeń okresowych IS/PO-16-11/03.
Pomiary zostały wykonane	<ol style="list-style-type: none"><li>1. na głównych i pomocniczych kierunkach pomiarowych, na kierunkach zbliżonych do azymutów anten oraz w dodatkowych pionach pomiarowych zgodnie z wymaganiami pkt 12, 13, 14 i 19 załącznika do rozporządzenia Ministra Klimatu z dnia 17 lutego 2020 r. (Dz. U. 2020, poz. 258),</li><li>2. na obszarze pomiarowym, dla którego, na podstawie uprzednio wykonanych obliczeń uzyskanych od zleceniodawcy, stwierdzono możliwość występowania pól elektromagnetycznych o poziomach zbliżonych do poziomów dopuszczalnych zgodnie z wymaganiami pkt 5 ppkt 2 oraz pkt 13 ppkt 1 załącznika do rozporządzenia Ministra Klimatu z dnia 17 lutego 2020 r. (Dz. U. 2020, poz. 258). Wyniki obliczeń nie uwzględniały parametrów pracy instalacji innych operatorów występujących na obiekcie bądź w obszarze pomiarowym.</li><li>3. w miejscach dostępnych dla ludności.</li><li>4. miejsca niedostępne podczas wykonywania pomiarów wskazane zostały w pkt 6 (tabeli wyniki pomiarów)</li><li>5. wyniki pomiarów uzyskane zostały przy uwzględnieniu poprawek pomiarowych przekazanych przez zleceniodawcę oraz przy rzeczywistych warunkach pracy instalacji innych operatorów (w przypadku występowania). W takiej sytuacji uwzględniono jednolitą poprawkę pomiarową wynoszącą 2,0.</li></ol>
Szczególne warunki podczas wykonywania pomiarów	Pomiary wykonane zostały podczas obowiązywania w kraju stanu epidemii, zgodnie z art. 122a ust. 1b Ustawy z dnia 27 kwietnia 2001 r. – Prawo ochrony środowiska (Dz. U. z 2019 r. poz. 1396, z późn. zm.9))
Warunki pracy urządzeń nadawczych	Podczas pomiarów zostały uwzględnione poprawki pomiarowe przekazane przez zleceniodawcę, umożliwiające uwzględnienie maksymalnych parametrów pracy

instalacji zgodnie z pkt 7 załącznika do Rozporządzeniem Ministra Klimatu z dnia 17 lutego 2020 r. w sprawie sposobów sprawdzania dotrzymania dopuszczalnych poziomów pól elektromagnetycznych w środowisku (Dz. U. 2020, poz. 258).

#### 4. Zróżnicowanie dopuszczalne poziomy pól elektromagnetycznych.

Zakresy znajdują się w Dzienniku Ustaw z dnia 17 grudnia 2019 r. przedstawione są w tabeli nr 2 (Dz. U. z 2019r. poz. 2448).

Parametr fizyczny	Składowa elektryczna E (V/m)	Składowa magnetyczna H (A/m)	Gęstość mocy S (W/m <sup>2</sup> )
Zakres Częstotliwości pola elektromagnetycznego			
od 400 MHz do 2000 MHz	$1,375 \times f^{0,5}$	$0,0037 \times f^{0,5}$	f / 200
od 2 GHz do 300 GHz	61	0,16	10

#### 5. Charakterystyka źródeł PEM.

Zgodnie z informacją otrzymaną od Klienta pomiary zostały wykonane przy ustawieniach pochyleń anten zgodnych z pkt. 13, ppkt 2 załącznika do rozporządzenia Ministra Klimatu z dnia 17 lutego 2020 roku.

Tabela 1. Anteny sektorowe - dane otrzymane od klienta

Charakterystyka promieniowania		kierunkowa							
Rzeczywisty czas pracy [h/dobę]		24							
Rodzaj wytwarzanego pola		stacjonarne							
Lp	Wyszczególnienie	sektor 1				sektor 2			
I	<b>Nadajnik stacji bazowej:</b>								
1	Typ / Producent	DBS / SRAN Huawei							
2	Częstotliwość (pasmo) MHz	900	800	2600	2100	1800	2600	2100	1800
3	Maksymalna moc nadawana na sektor [dBm]	46,02	46,02	49,03	49,03	49,03	49,03	49,03	49,03
II	<b>Obciążenie:</b>								
1	Typ anteny	Commscope 2CPX208R		Huawei AMB4520R0			Huawei AMB4520R0		
2	Producent anteny	Commscope		Huawei			Huawei		
3	Ilość anten	1		1			1		
4	Azymut	27		30					
5	Zakres kątów pochyleń anten [°]	0,00-10,00		0,00-7,00					
6	Wysokość zainst. n.p.t. [m]	44,90		45,15					
7	EIRP [W]	4952		19118			19118		

Charakterystyka promieniowania		kierunkowa							
Rzeczywisty czas pracy [h/dobę]		24							
Rodzaj wytwarzanego pola		stacjonarne							
Lp	Wyszczególnienie	sektor 3							
<b>I Nadajnik stacji bazowej:</b>									
1	Typ / Producent	DBS / SRAN Huawei							
2	Częstotliwość (pasmo) MHz	2100	1800	800	2100	1800	800	2600	900
3	Maksymalna moc nadawana na sektor [dBm]	49,03	49,03	46,02	49,03	49,03	46,02	52,04	46,02
<b>II Obciążenie:</b>									
1	Typ anteny	Huawei ADU4518R11			Huawei ADU4518R11			Huawei ATR4518R6	
2	Producent anteny	Huawei			Huawei			Huawei	
3	Ilość anten	1			1			1	
4	Azymut	120							
5	Zakres kątów pochylecia anten [°]	2,00-11,00	2,00-11,00	0,00-11,00	2,00-11,00	2,00-11,00	0,00-11,00	0,00-7,00	0,00-7,00
6	Wysokość zainst. n.p.t. [m]	44,95			44,95			45,00	
7	EIRP [W]	9123			9123			11807	

Charakterystyka promieniowania		kierunkowa							
Rzeczywisty czas pracy [h/dobę]		24							
Rodzaj wytwarzanego pola		stacjonarne							
Lp	Wyszczególnienie	sektor 4							
<b>I Nadajnik stacji bazowej:</b>									
1	Typ / Producent	DBS / SRAN Huawei							
2	Częstotliwość (pasmo) MHz	2100	1800	800	2100	1800	800	2600	900
3	Maksymalna moc nadawana na sektor [dBm]	49,03	49,03	46,02	49,03	49,03	46,02	52,04	46,02
<b>II Obciążenie:</b>									
1	Typ anteny	Huawei ADU4518R11			Huawei ADU4518R11			Huawei ATR4518R6	
2	Producent anteny	Huawei			Huawei			Huawei	
3	Ilość anten	1			1			1	
4	Azymut	260							
5	Zakres kątów pochylecia anten [°]	2,00-9,00	2,00-9,00	0,00-9,00	2,00-9,00	2,00-9,00	0,00-9,00	0,00-6,00	0,00-6,00
6	Wysokość zainst. n.p.t. [m]	44,95			44,95			45,00	
7	EIRP [W]	9123			9123			11807	

Charakterystyka promieniowania		kierunkowa							
Rzeczywisty czas pracy [h/dobę]		24							
Rodzaj wytwarzanego pola		stacjonarne							
Lp	Wyszczególnienie	sektor 5				sektor 6			
I	Nadajnik stacji bazowej:								
1	Typ / Producent	DBS / SRAN Huawei							
2	Częstotliwość (pasmo) MHz	2600	2100	1800	2600	2100	1800	900	800
3	Maksymalna moc nadawana na sektor [dBm]	49,03	49,03	49,03	49,03	49,03	49,03	46,02	46,02
II	Obciążenie:								
1	Typ anteny	Huawei AMB4520R0		Huawei AMB4520R0		Commscope 2CPX208R			
2	Producent anteny	Huawei		Huawei		Commscope			
3	Ilość anten	1		1		1			
4	Azymut	330			333				
5	Zakres kątów pochylecia anten [°]	0,00-6,00			0,00-10,00				
6	Wysokość zainst. n.p.t. [m]	45,15			44,9				
7	EIRP [W]	19118		19118		4952			

Tabela 2. Anteny radioliniowe- dane otrzymane od klienta

Charakterystyka promieniowania		kierunkowa					
Rzeczywisty czas pracy [h/dobę]		24					
Rodzaj wytwarzanego pola		stacjonarne					
Lp	Linia radiowa			Antena			
	typ/producent	częstotliwość pracy [GHz]	moc wyjściowa [dBm]	typ/producent	średnica anteny [m]	azymut [°]	wysokość zainstal. [m]
1	MINI-LINK/ERICSSON	80	18	ANT2 B 0.3 80 HP/Ericsson	0,3	117	47,75
2	OPTIX RTN/HUAWEI	80/23	17/25	A23S80S06/Huawei	0,6	190	47,60

## 6. Wyniki pomiarów.

Wyniki pomiarów pól elektromagnetycznych dla celów ochrony środowiska przedstawia poniższa tabela. Piony pomiarowe zostały przedstawione w zał. 2.

Nr PP	Pole-E [V/m]	Pole-E *kE, +U [V/m]	Pole-H [A/m]	Pole-H *kE+U [A/m]	Wys. pomiaru [m]	Opis pionu	Uwagi	WM <sub>E</sub>	WM <sub>H</sub>
1	2,0	6,39	0,005	0,017	0,3-2,0	N:52°15'12.9" E:20°50'00.9"	otoczenie stacji bazowej - 100m wzdłuż gł. osi promieniowania - GKP	0,228	0,232
2	1,1	3,52	0,003	0,009	0,3-2,0	N:52°15'15.7" E:20°50'03.6"	otoczenie stacji bazowej - 200m wzdłuż gł. osi promieniowania - GKP	0,126	0,128
3	1,6	5,11	0,004	0,014	0,3-2,0	N:52°15'18.6" E:20°50'06.9"	otoczenie stacji bazowej - 300m wzdłuż gł. osi promieniowania - GKP	0,183	0,186
4	1,8	5,75	0,005	0,015	0,3-2,0	N:52°15'21.8" E:20°50'09.5"	otoczenie stacji bazowej - 420m wzdłuż gł. osi promieniowania- GKP	0,205	0,209
5	0,7*	2,56	0,002	0,007	0,3-2,0	N:52°15'22.9" E:20°50'10.9"	otoczenie stacji bazowej - 450m wzdłuż gł. osi promieniowania - GKP	0,091	0,093
6	1,2	3,84	0,003	0,010	0,3-2,0	N:52°15'08.7" E:20°50'02.9"	otoczenie stacji bazowej - 100m wzdłuż gł. osi promieniowania - GKP	0,137	0,139
7	1,3	4,15	0,003	0,011	0,3-2,0	N:52°15'07.6" E:20°50'07.7"	otoczenie stacji bazowej - 200m wzdłuż gł. osi promieniowania - GKP	0,148	0,151
8	1,6	5,11	0,004	0,014	0,3-2,0	N:52°15'05.9" E:20°50'11.9"	otoczenie stacji bazowej - 300m wzdłuż gł. osi promieniowania - GKP	0,183	0,186

„Bez pisemnej zgody Laboratorium niniejsze sprawozdanie nie może być powielane inaczej, jak tylko w całości. Ponadto wyniki dotyczą tylko badanych obiektów przywołanych w niniejszym sprawozdaniu z badań”

9	1,5	4,79	0,004	0,013	0,3-2,0	N:52°15'03.9" E:20°50'16.0"	otoczenie stacji bazowej - 400m wzdłuż gł. osi promieniowania- GKP	0,171	0,174
10	1,3	4,15	0,003	0,011	0,3-2,0	N:52°15'02.9" E:20°50'19.2"	otoczenie stacji bazowej - 450m wzdłuż gł. osi promieniowania - GKP	0,148	0,151
11	1,8	5,75	0,005	0,015	0,3-2,0	N:52°15'09.6" E:20°49'52.9"	otoczenie stacji bazowej - 100m wzdłuż gł. osi promieniowania - GKP	0,205	0,209
12	0,7*	2,56	0,002	0,007	0,3-2,0	N:52°15'09.4" E:20°49'47.2"	otoczenie stacji bazowej - 200m wzdłuż gł. osi promieniowania - GKP	0,091	0,093
13	1,2	3,84	0,003	0,010	0,3-2,0	N:52°15'09.0" E:20°49'42.6"	otoczenie stacji bazowej - 300m wzdłuż gł. osi promieniowania - GKP	0,137	0,139
14	0,7*	2,56	0,002	0,007	0,3-2,0	N:52°15'08.6" E:20°49'37.2"	otoczenie stacji bazowej - 400m wzdłuż gł. osi promieniowania- GKP	0,091	0,093
15	0,7*	2,56	0,002	0,007	0,3-2,0	N:52°15'07.9" E:20°49'33.2"	otoczenie stacji bazowej - 490m wzdłuż gł. osi promieniowania - GKP	0,091	0,093
16	1,5	4,79	0,004	0,013	0,3-2,0	N:52°15'11.4" E:20°49'57.2"	otoczenie stacji bazowej - 50m wzdłuż gł. osi promieniowania - GKP	0,171	0,174
17	1,6	5,11	0,004	0,014	0,3-2,0	N:52°15'17.3" E:20°49'53.1"	otoczenie stacji bazowej - 250m wzdłuż gł. osi promieniowania - GKP	0,183	0,186
18	0,8	2,56	0,002	0,007	0,3-2,0	N:52°15'19.0" E:20°49'51.9"	otoczenie stacji bazowej - 300m wzdłuż gł. osi promieniowania - GKP	0,091	0,093
19	2,3	7,35	0,006	0,019	0,3-2,0	N:52°15'21.6" E:20°49'49.8"	otoczenie stacji bazowej - 400m wzdłuż gł. osi promieniowania- GKP	0,263	0,267
20	0,7*	2,56	0,002	0,007	0,3-2,0	N:52°15'23.6" E:20°49'48.2"	otoczenie stacji bazowej - 450m wzdłuż gł. osi promieniowania - GKP	0,091	0,093
21	1,2	3,84	0,003	0,010	0,3-2,0	N:52°15'07.1" E:20°49'58.0"	otoczenie stacji bazowej - 100m wzdłuż gł. osi promieniowania - GKP	0,137	0,139
22	1,5	4,79	0,004	0,013	0,3-2,0	N:52°15'13.8" E:20°49'59.6"	otoczenie stacji bazowej - GKP	0,171	0,174
23	2,0	6,39	0,005	0,017	0,3-2,0	N:52°15'11.6" E:20°50'01.9"	otoczenie stacji bazowej -PKP	0,228	0,232
24	1,2	3,84	0,003	0,010	0,3-2,0	N:52°15'09.8" E:20°50'01.9"	otoczenie stacji bazowej - GKP	0,137	0,139
25	1,4	4,47	0,004	0,012	0,3-2,0	N:52°15'07.9" E:20°49'59.1"	otoczenie stacji bazowej - GKP	0,160	0,163
26	1,4	4,47	0,004	0,012	0,3-2,0	N:52°15'08.3" E:20°49'53.5"	otoczenie stacji bazowej - GKP	0,160	0,163
27	1,6	5,11	0,004	0,014	0,3-2,0	N:52°15'10.8" E:20°49'53.9"	otoczenie stacji bazowej - GKP	0,183	0,186
28	1,5	4,79	0,004	0,013	0,3-2,0	N:52°15'12.4" E:20°49'54.6"	otoczenie stacji bazowej - GKP	0,171	0,174
A	1,5	4,79	0,004	0,013	0,3-2,0	N:52°15'09.4" E:20°49'49.5"	Hala, pomiar przed budynkiem -DPP	0,171	0,174
B	0,7*	2,56	0,002	0,007	0,3-2,0	N:52°15'08.9" E:20°49'46.3"	Hala, pomiar przed budynkiem -DPP	0,091	0,093
C	0,7*	2,56	0,002	0,007	0,3-2,0	N:52°15'08.7" E:20°49'37.2"	Hala, pomiar przed bramą -DPP	0,091	0,093
D	1,5	4,79	0,004	0,013	0,3-2,0	N:52°15'17.2" E:20°49'52.4"	Hala, pomiar przed budynkiem -DPP	0,171	0,174
E	2,2	7,03	0,006	0,019	0,3-2,0	N:52°15'21.2" E:20°49'49.1"	Biuro, pomiar przed budynkiem -DPP	0,251	0,255
F	0,7*	2,56	0,002	0,007	0,3-2,0	N:52°15'21.8" E:20°50'09.3"	Dom w budowie, pomiar przed posesją -DPP	0,091	0,093
G	0,7*	2,56	0,002	0,007	0,3-2,0	N:52°15'21.4" E:20°50'10.5"	Kmiecica 11, pomiar przed posesją - DPP	0,091	0,093
H	1,7	5,43	0,005	0,014	0,3-2,0	N:52°15'21.8" E:20°50'10.6"	Kmiecica 14, pomiar przed posesją - DPP	0,194	0,197
I	1,8	5,75	0,005	0,015	0,3-2,0	N:52°15'22.2" E:20°50'09.2"	Kmiecica 16, pomiar przed posesją - DPP	0,205	0,209
J	1,6	5,11	0,004	0,014	0,3-2,0	N:52°15'04.9" E:20°50'12.5"	Dworkowa 28, pomiar przed posesją -DPP	0,183	0,186
K	1,5	4,79	0,004	0,013	0,3-2,0	N:52°15'03.7" E:20°50'15.9"	Kościuszki 20, pomiar przed posesją - DPP	0,171	0,174

Wynik pomiaru pole - E [V/m] - maksymalna wartość chwilowa zmierzona w danym pionie pomiarowym (uśredniona na podstawie punktu 11 Załącznika do Rozporządzenia Ministra Zdrowia).

„Bez pisemnej zgody Laboratorium niniejsze sprawozdanie nie może być powielane inaczej, jak tylko w całości. Ponadto wyniki dotyczą tylko badanych obiektów przywołanych w niniejszym sprawozdaniu z badań”



Przyjęto najniższą dopuszczalną wartość składowej elektrycznej pola dla objętego pomiarami zakresu częstotliwości  $\min(ME_{gr})= 28 \text{ V/m}$  oraz składowej magnetycznej  $\min(MH_{gr})= 0,073 \text{ A/m}$ .

\* - wartość zmierzona poniżej zakresu akredytacji. Do obliczeń przyjęto wartość zgodną z dolną granicą akredytowanego zakresu pomiarowego metody.

GKP - główne kierunki pomiarowe

PKP - pomocnicze kierunki pomiarowe

DPP - dodatkowe punkty pomiarowe

PP - pion pomiarowy

U - niepewność pomiarowa rozszerzona, przy poziomie ufności 95%, z uwzględnieniem współczynnika rozszerzenia  $k=2$

kE - poprawka pomiarowa badanej instalacji radiokomunikacyjnej podana przez operatora ( $kE=1,7$ ), poprawka pomiarowa w przypadku oddziaływania innych instalacji radiokomunikacyjnych na badany obszar ( $kE=2,0$ )

WM<sub>E</sub> - wartość wskaźnikowa poziomu emisji pól elektromagnetycznych dla miejsc dostępnych dla ludności dla składowej elektrycznej pola

WM<sub>H</sub> - wartość wskaźnikowa poziomu emisji pól elektromagnetycznych dla miejsc dostępnych dla ludności dla składowej magnetycznej pola

## 7. Stwierdzenie zgodności

Na podstawie wytycznych podanych w Rozporządzeniu Ministra Zdrowia z dnia 17 grudnia 2019 r. w sprawie dopuszczalnych poziomów pól elektromagnetycznych w środowisku (Dz.U. 2019 poz. 2448) oraz sposobów sprawdzania dotrzymania tych poziomów zgodnie z Rozporządzeniem Ministra Klimatu z dnia 17 lutego 2020 r. w sprawie sposobów sprawdzania dotrzymania dopuszczalnych poziomów pól elektromagnetycznych w środowisku (Dz.U. 2020 poz. 258) dotyczących źródła wymagań, które muszą być spełnione (załącznik do rozporządzenia Ministra Klimatu z dnia 17 lutego 2020 r. (poz. 258)), w oparciu o zasadę podejmowania decyzji zgodną z pkt 26 załącznika do rozporządzenia Ministra Klimatu z dnia 17 lutego 2020 r. (poz. 258), na podstawie wyników pomiarów pól elektromagnetycznych wykonanych w dniu 16.03.2022 stwierdzono, iż w miejscach dostępnych dla ludności, dopuszczalne poziomy pól elektromagnetycznych w środowisku, określone w przepisach wydanych na podstawie art. 122 ust. 1 ustawy z dnia 27 kwietnia 2001 r. – Prawo ochrony środowiska, uznaje się za dotrzymane w obszarze pomiarowym, w którym w wyniku zastosowania sposobu sprawdzenia dotrzymania dopuszczalnych poziomów pól elektromagnetycznych w środowisku, udokumentowano, że żadna z wartości wskaźnikowych nie przekracza wartości 1.

## 8. Oświadczenie.

Wyniki badania odnoszą się wyłącznie do badanego obiektu.

Bez pisemnej zgody sprawozdanie nie może być powielane inaczej, jak tylko w całości.

Uwagi i zastrzeżenia przyjmowane są w formie pisemnej w ciągu 14 dni od daty otrzymania sprawozdania.

## 9. Spis załączników.

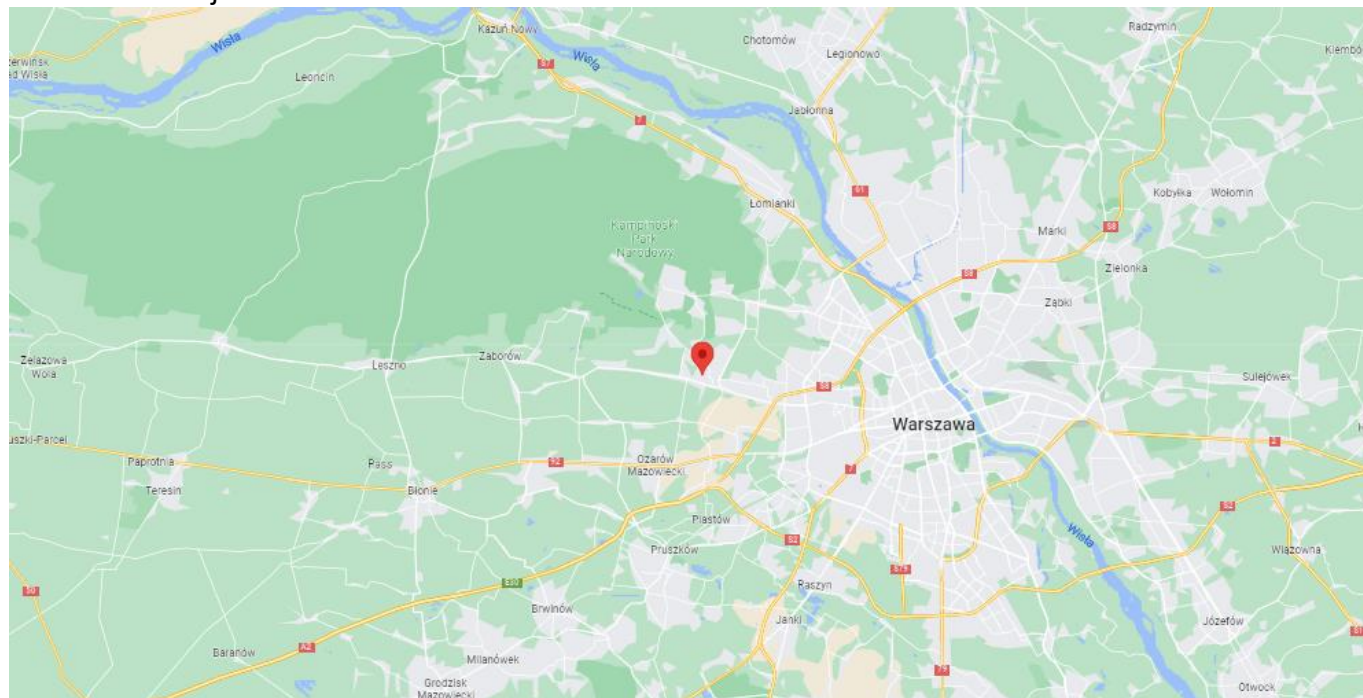
Zał. 1. Lokalizacja obiektu.

Zał. 2. Widok pionów pomiarowych

Zał. 3. Załączniki graficzne

**Koniec sprawozdania**

## Załącznik 1. Lokalizacja obiektu



Współrzędne geograficzne	
długość:	20°49'58.70"E
szerokość:	52°15'10.00"N

## Załącznik 2. Widok pionów pomiarowych



### LEGENDA:

inna instalacja radiokomunikacyjna

Odległość, do której zostały wykonane pomiary mierząc od instalacji antenowej wynosi min.: 451,5 metrów.

brak dostępu

pion pomiarowy z poprawką pomiarową (brak innych instalacji radiokomunikacyjnych)

pion pomiarowy z poprawką pomiarową (w zasięgu innych instalacji radiokomunikacyjnych)

antena sektorowa  
 antena radioliniowa

Skala: 1:6250

0 75 150m

### Załącznik 3. Załączniki graficzne.

